

Interferência + Difração



$$\frac{1}{\sqrt{2}}|\text{cat sitting}\rangle + \frac{1}{\sqrt{2}}|\text{cat running}\rangle$$

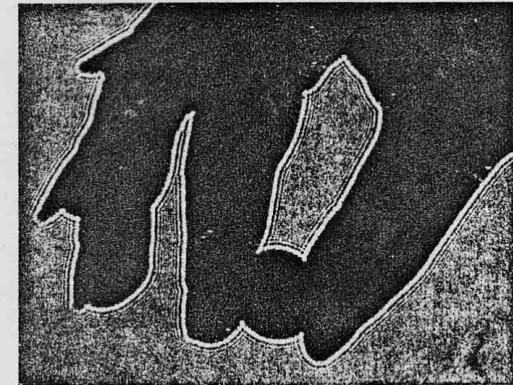
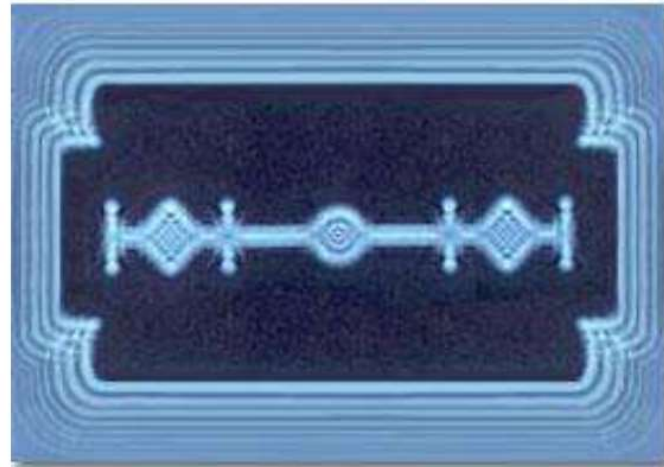


Fig. 10.1 The shadow of a hand holding a dime, cast directly on 4 x 5 Polaroid A.S.A. 3000 film using a He-Ne beam and no lenses.

- Interferência e a natureza quântica da luz
- Difração numa fenda simples no limite Fraunhofer (campo longo)



Exemplo do uso duma cavidade Fabry-Perot



ARTICLE

<https://doi.org/10.1038/s41467-021-26652-7>

OPEN

A Fabry-Pérot cavity coupled surface plasmon photodiode for electrical biomolecular sensing

Giles Allison¹, Amrita Kumar Sana¹, Yuta Ogawa¹, Hidemi Kato¹, Kosei Ueno², Hiroaki Misawa^{3,4}, Koki Hayashi¹ & Hironori Suzuki¹

NATURE COMMUNICATIONS | (2021)12:6483 | <https://doi.org/10.1038/s41467-021-26652-7>

Check for updates

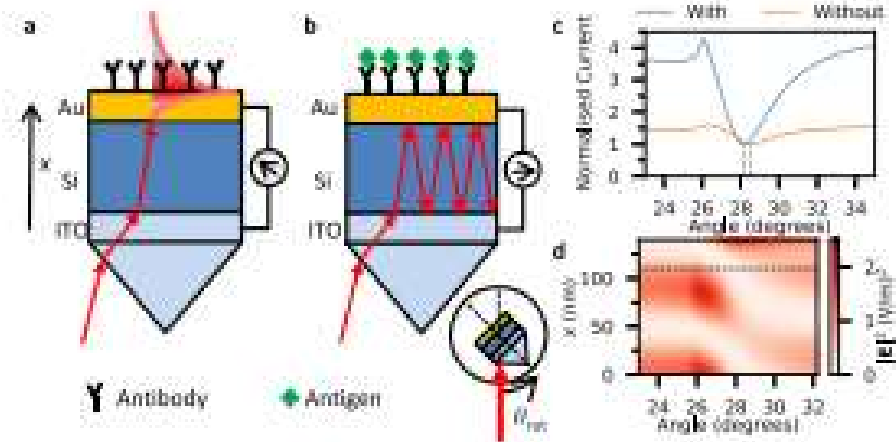
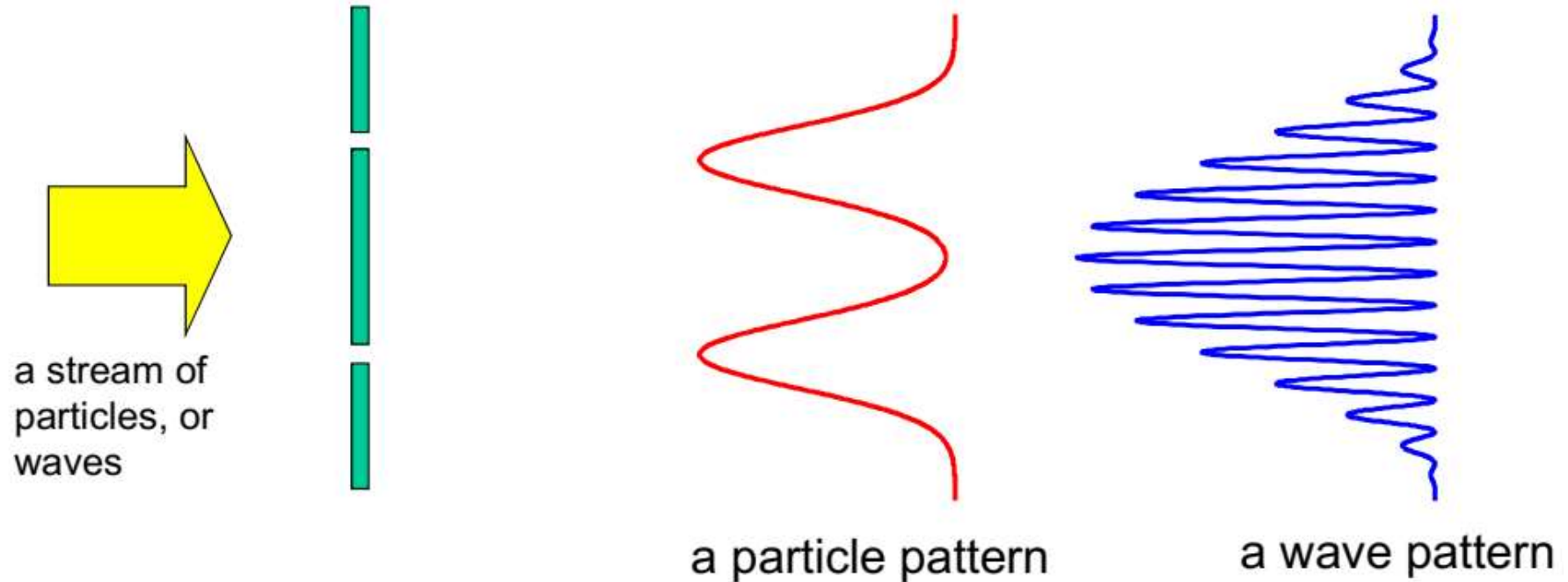


Fig. 1 Surface plasmon detection and Fabry-Pérot enhancement.

a, b Schematic representation of current generation. Photocurrent is generated by incident light photoexciting electrons in the silicon layer that are subsequently driven into the ITO contact by the in-built electric field. In **a** antibodies are immobilized on the gold surface and the incident angle fixed to generate a surface plasmon resonance in the gold film. Reflection is minimal at this angle, so only incoming light generates photocurrent. In **b** antigens are bound to the antibodies, which causes a change of refractive index leading to a loss of plasmon resonance and increase in reflection by the gold film and subsequently absorption in the silicon layer. Binding is thus observed as a change of current. The silicon layer acts as a nanocavity with multiple reflections enhancing the change of current.

Um dos 25 artigos mais populares de Nature Communications em 2021

A experiência de dupla fenda e a natureza da luz



As padrões esperadas são muito diferentes no caso que o feixe incidente consiste de partículas ou ondas....

Caráter Ondulatório de elétrons



Louis de Broglie,
1892-1987

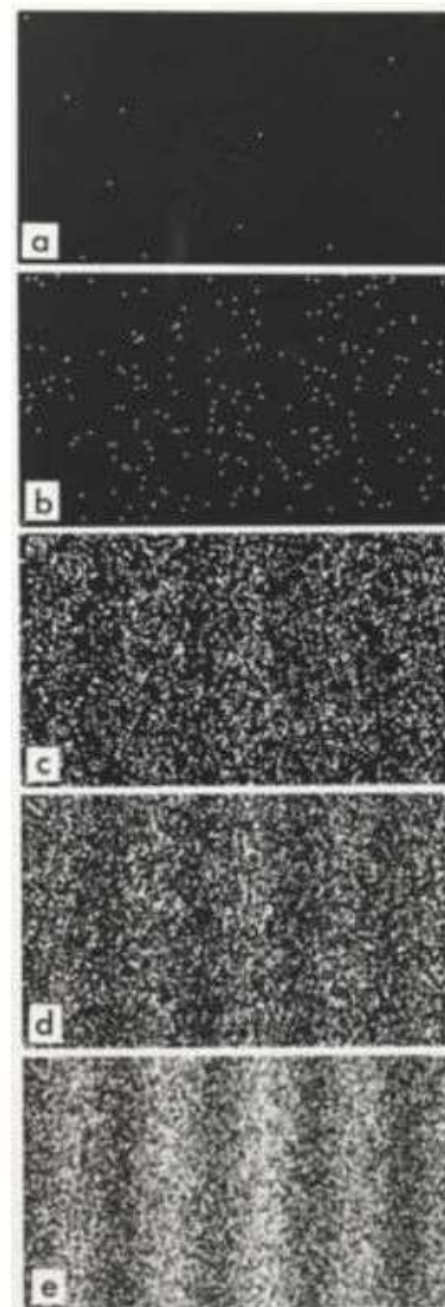
Nobel 1927

Efeito fotoelétrico: luz é absorvida em pacotes bem definidas (fotões), i.e. Ondas EM podem assumir propriedades que associamos com partículas.

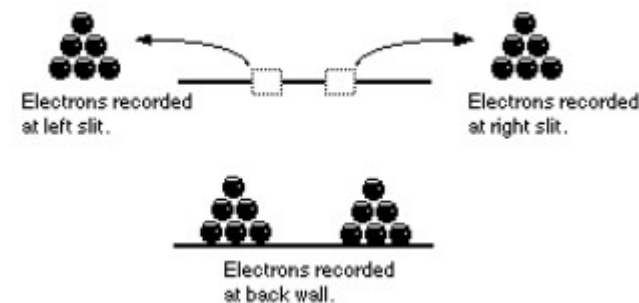
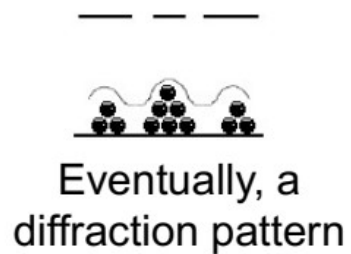
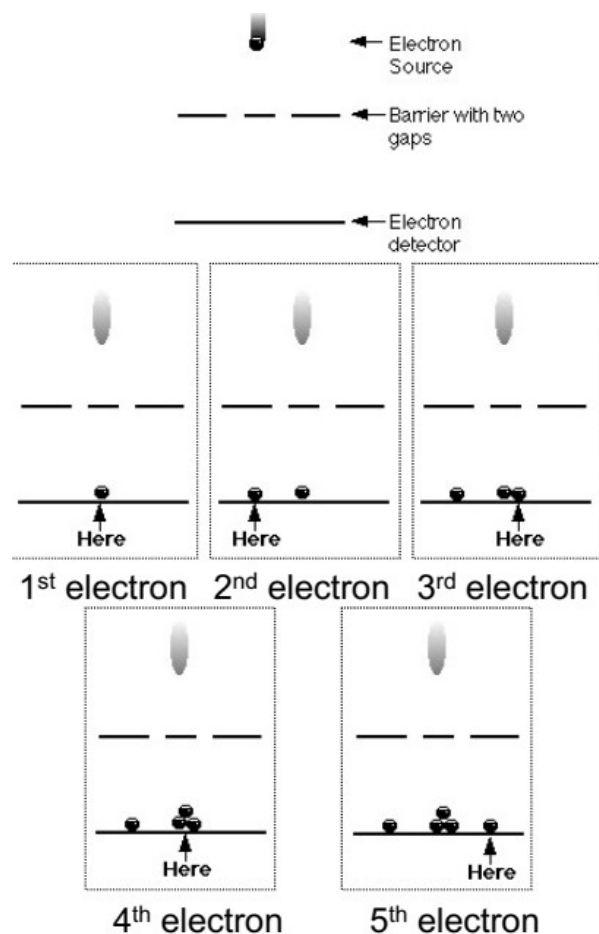
De Broglie sugeriu que o converso também seria possível, partículas pode demonstrar propriedades ondulatórias

$$\lambda = h/p$$

Ao enviar elétrons mono energéticas através uma placa com duas fendas uma padrão de interferência pode ser observada



Observar os elétrons destrói a Interferência



Detetar qual fenda o elétron atravessou destrói a padrão de interferência

Sem obter informação sobre o caminho a padrão de interferência aparece

O gato de Schrödinger

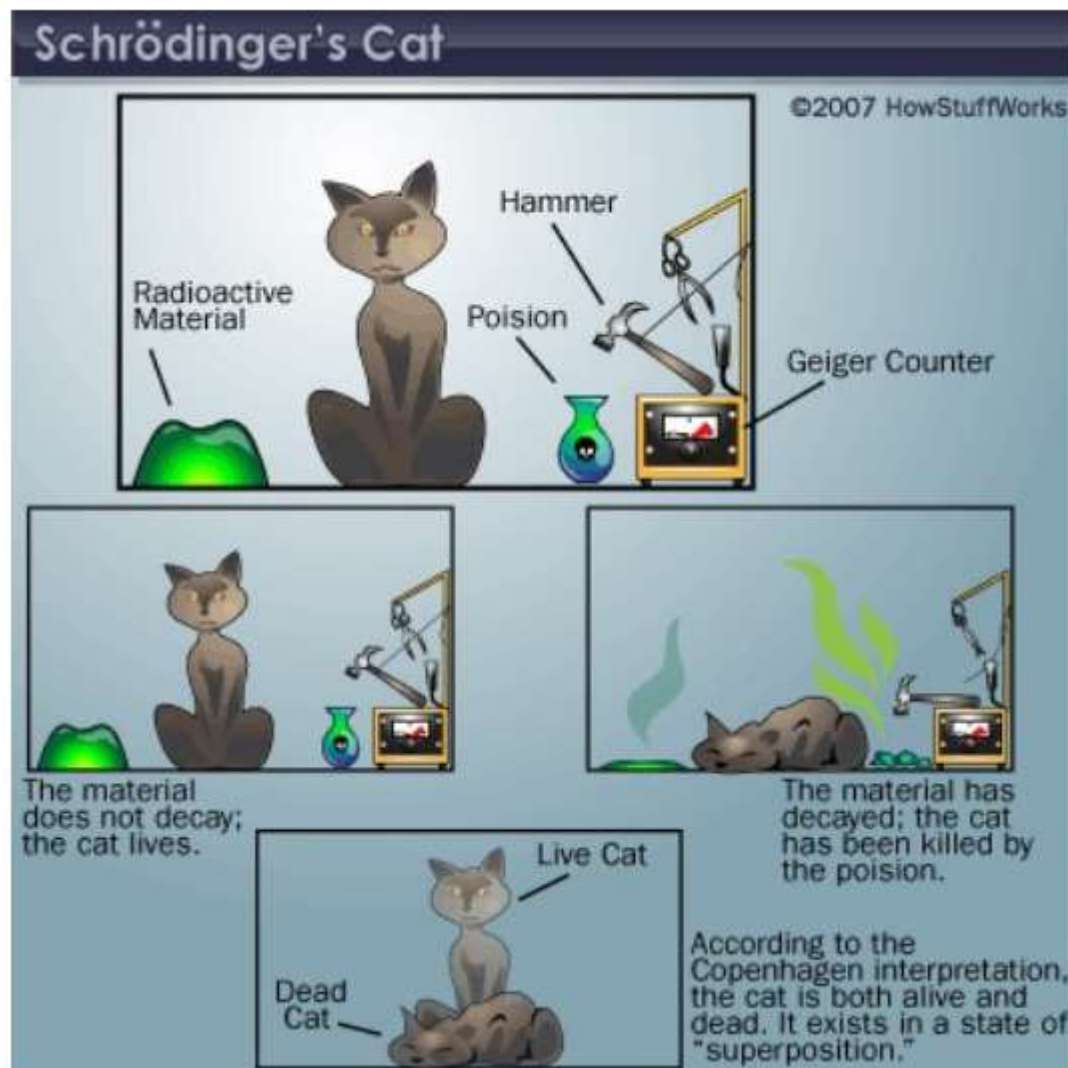
$$\frac{1}{\sqrt{2}}|\text{gato vivo}\rangle + \frac{1}{\sqrt{2}}|\text{gato morto}\rangle$$

Depois 1 hora existe 50% probabilidade que a partícula desintegra matando o gato.

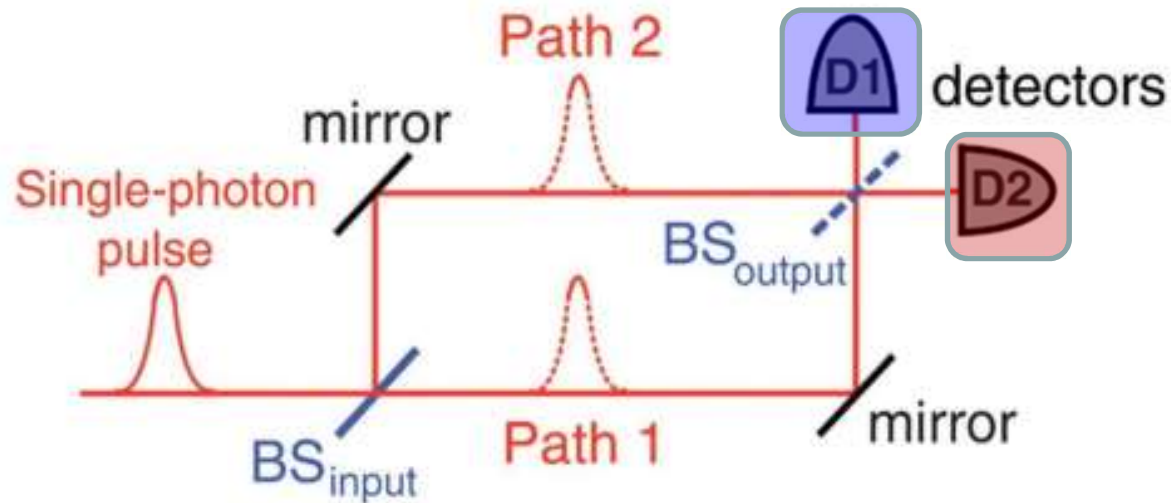
Depois uma hora qual é o estado do gato?

Resposta intuitiva: existe 50% chance que o gato sobreviveu – só sabe ao certo quando abra a caixa.

Resposta de MQ: Ao longo do tempo o sistema se evolve numa sobreposição de estado gato vivo + gato morto. Ao abrir a caixa uma medida é realizada e o sistema “se colapsa” num dos estados.



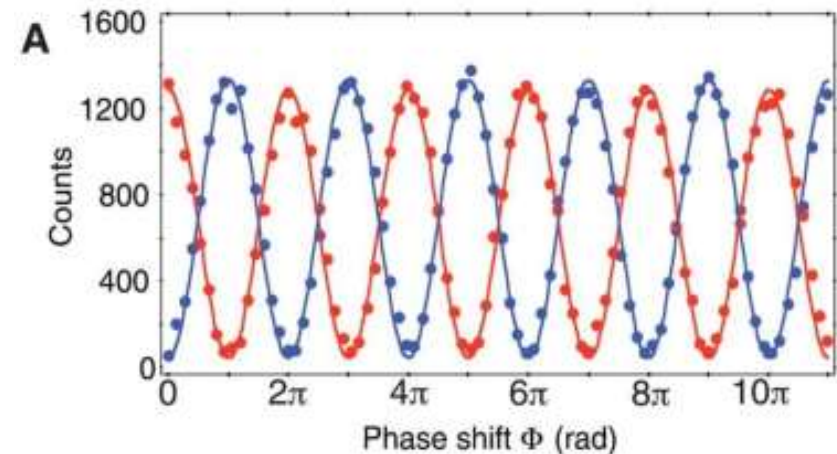
Um experiência com fótons únicos



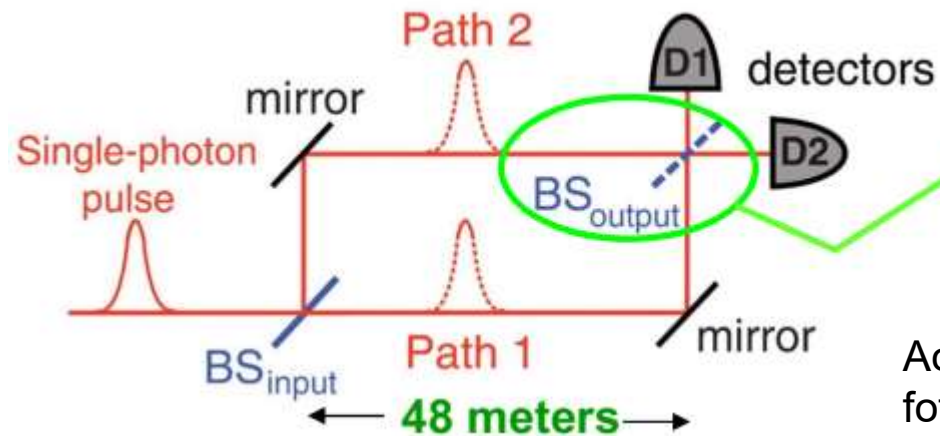
O fóton só pode ser detetado uma vez – é detetado no detetador D1 ou D2

Mais qual detetador recebe o fóton varia com a diferença da fase entre os caminhos.

Cada fóton “toma” os dois caminhos alternativos



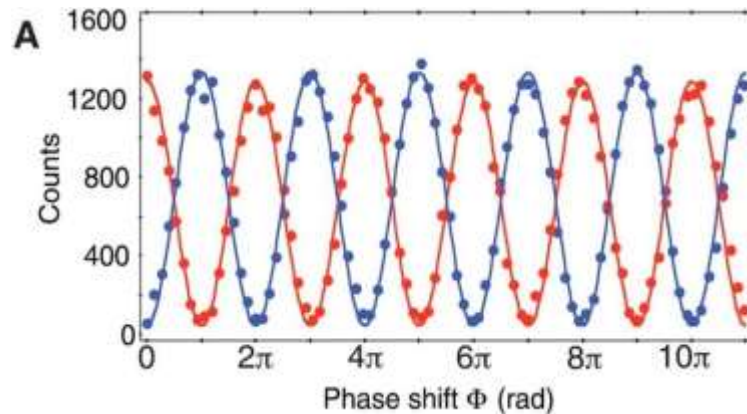
Experiência de escolha adiada



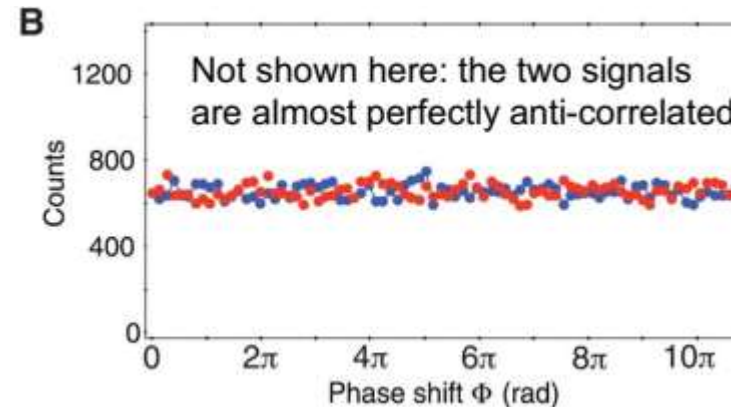
John Wheeler: Decidir tira ou deixar o segundo divisor de feixe depois o fóton ter passado pelo primeiro divisor de feixe

Ao tirar o divisor de feixe D1 (2) só deteta fótons que se propagam no caminho 1 (2).

Com divisor



Sem divisor

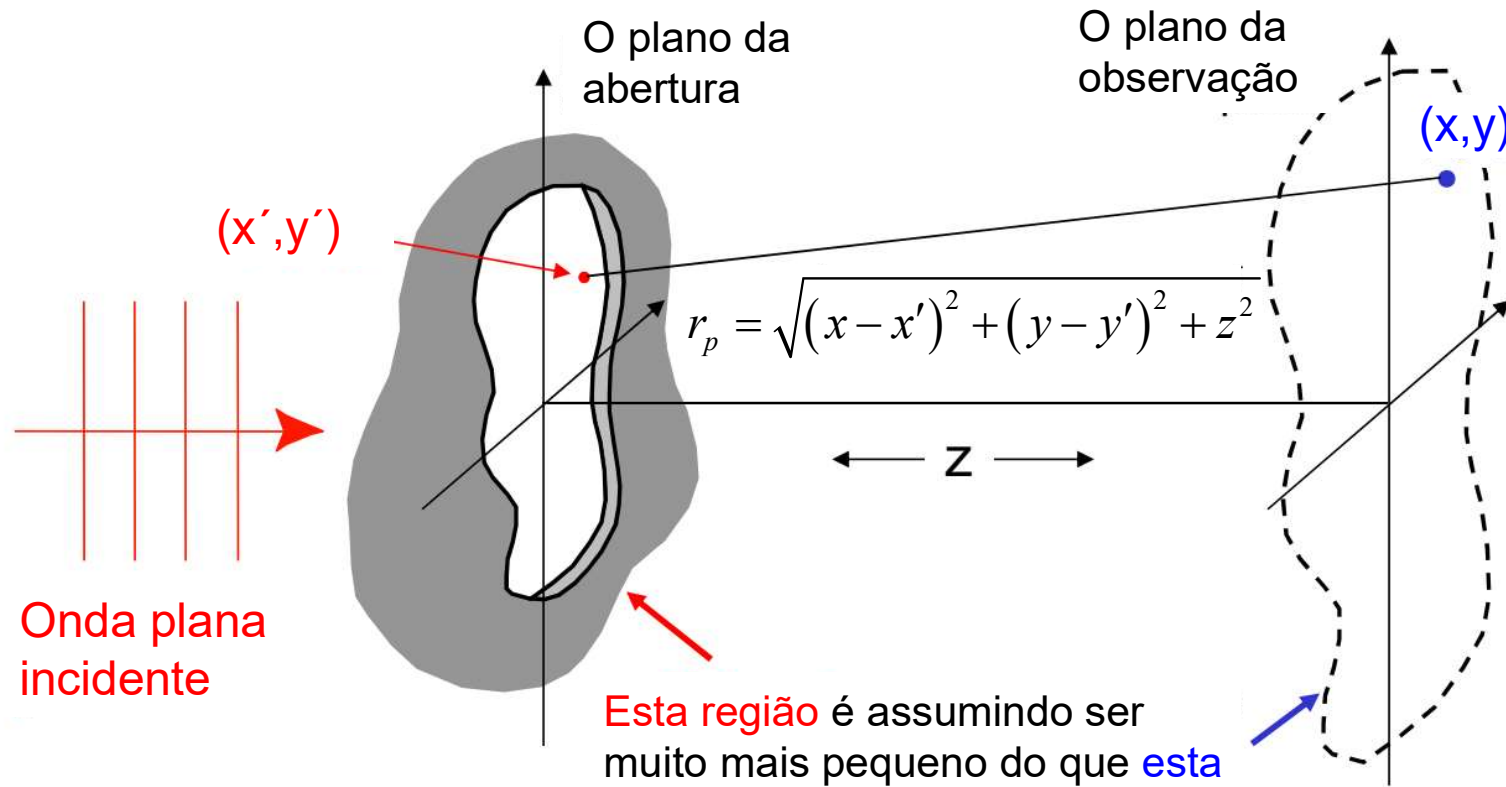


A medida determina se efeitos ondulatórios ou particulares são observados

V. Jacques et al., *Science* (March 2007)

Difração

O problema sobre consideração



Referências: Physics of Light and Optics, Peatross e Ware, Caps 9 e 10
Optics, Hecht, Cap. 10

Difração

Quando uma onda plana passa numa obstrução algumas das onda esféricas de Huygens são eliminadas e os restantes podem exibir padrões complexos de interferências.

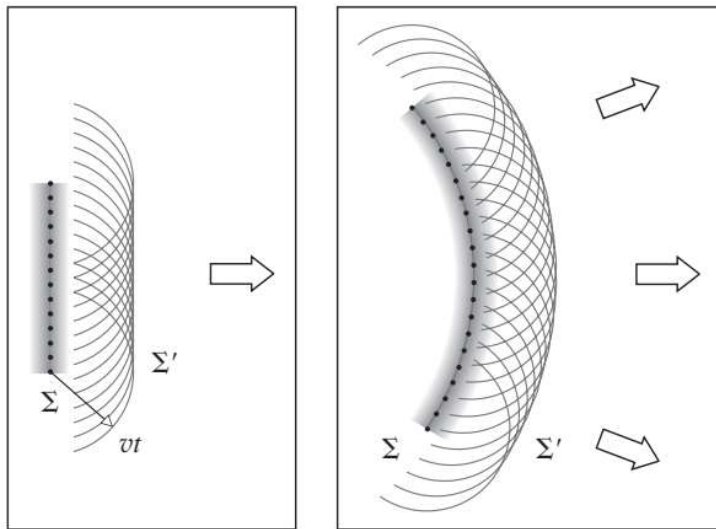
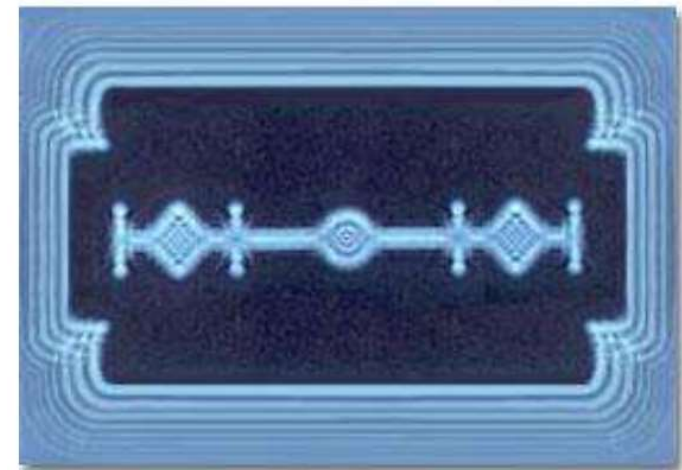


Figure 4.32 According to Huygens's Principle, a wave propagates as if the wavefront were composed of an array of point sources, each emitting a spherical wave.



Sombra de uma lamina de barbear iluminada por luz laser

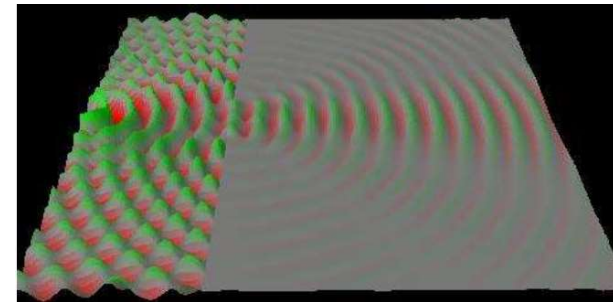
O fenómeno é bastante geral

Acontece com luz, som, ondas de água,...

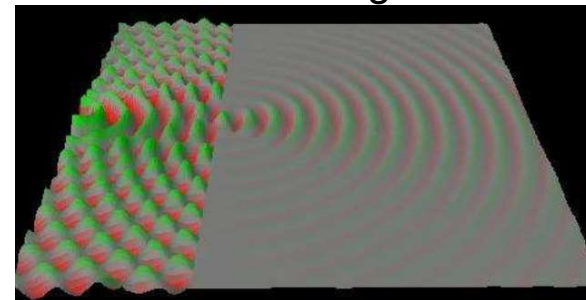
Quanto mais apertado a abertura
mais as ondas se espalham



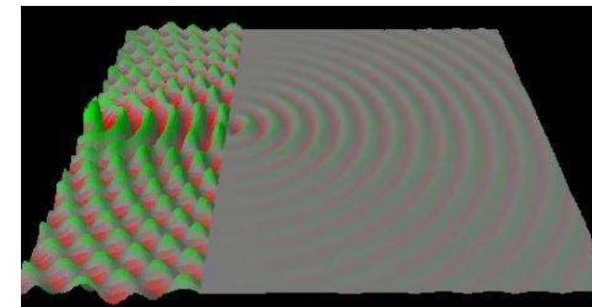
Difração de ondas marítimas em Tel Aviv



fenda larga



fenda mais pequena



fenda muito pequena

Alguns exemplos

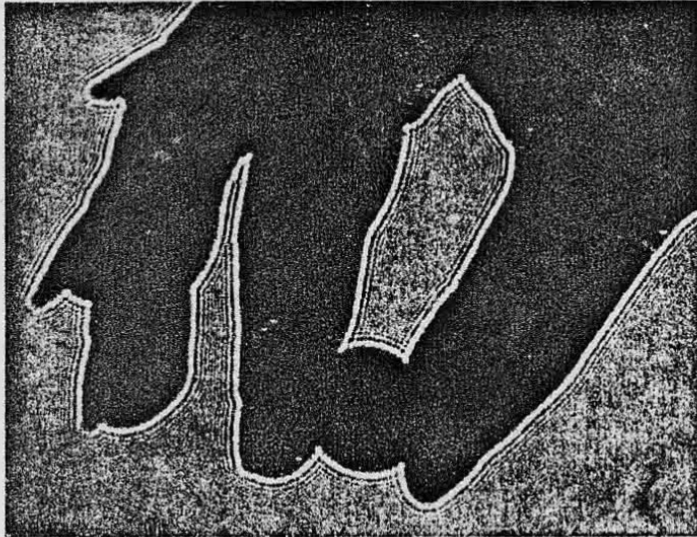
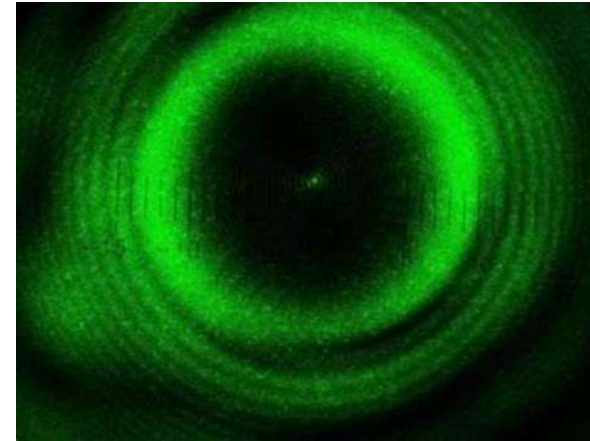
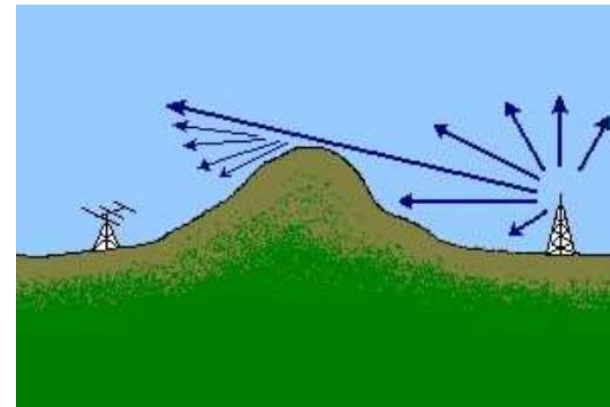
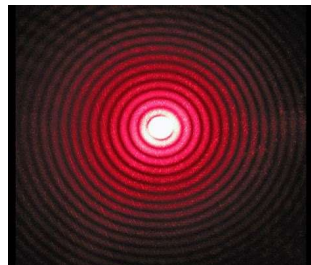
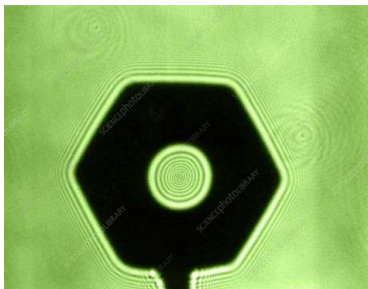


Fig. 10.1 The shadow of a hand holding a dime, cast directly on 4×5 Polaroid A.S.A. 3000 film using a He-Ne beam and no lenses.

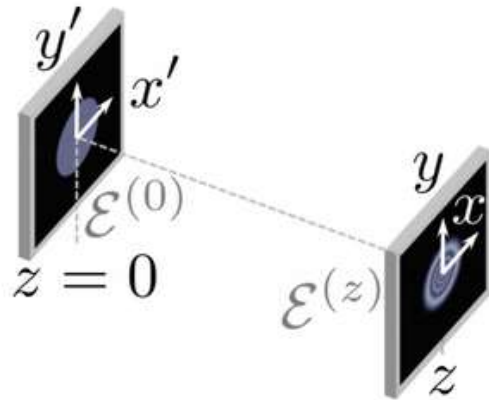


Sombra de uma esfera iluminada por luz laser

Em geral a luz não se propagação estritamente em linhas retas.



Formalismo de Fresnel

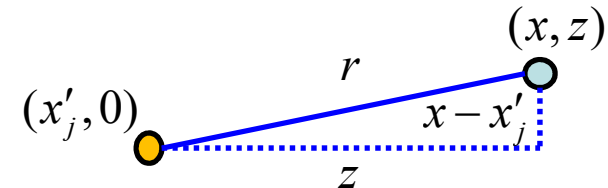


Dada uma distribuição das irradiâncias $\mathcal{I}(x', y', z=0)$, qual será a irradiância $\mathcal{I}(x, y, z)$ depois propagar uma distância z ?

Resposta de Fresnel:

O campo em cada ponto (x', y') no plano $z=0$ vai dar origem a uma onda esférica no plano z

$$\mathcal{E}(x, y, z) = A \frac{f_{jm}}{ikz} e^{ikz} \exp \left\{ ik \left[(x - x'_j)^2 + (y - y'_m)^2 \right] / 2z \right\}$$



Somar as contribuições de todos os pontos

$$\mathcal{E}(x, y, z) = \frac{A}{ikz} e^{ikz} \sum_{j,m} f_{jm} \exp \left\{ ik \left[(x - x'_j)^2 + (y - y'_m)^2 \right] / 2z \right\}$$

No limite contínuo

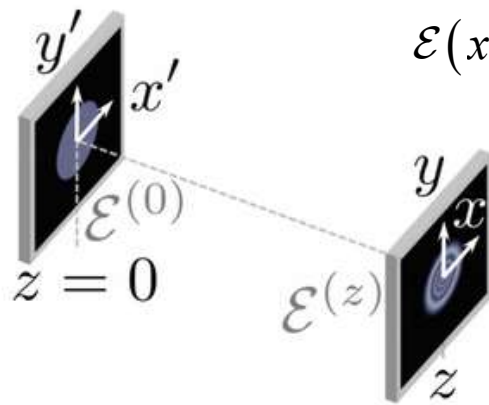
$$\mathcal{E}(x, y, z) = \frac{A}{ikz} e^{ikz} \int dx' dy' f(x', y') \exp \left\{ ik \left[(x - x')^2 + (y - y')^2 \right] / 2z \right\}$$

$$r = \sqrt{z^2 + (x - x'_j)^2}$$

$$r_p = z + (x - x'_j)^2 / 2z$$

aprox. Fresnel
~aprox. paraxial

Formalismo de Fresnel



$$\mathcal{E}(x, y, z) = \frac{A}{ikz} e^{ikz} \int dx' dy' f(x', y') \exp \left\{ ik \left[(x - x')^2 + (y - y')^2 \right] / 2z \right\}$$

$$f(x', y')$$

a função de abertura ou
a função da transmissão

Representa a fração do campo incidente
no plano $z=0$ que é transmitida

A é um constante de normalização: Considere uma onda plana $\mathcal{E}(x, y, z) = \mathcal{E}_0 e^{ikz}$

$$\mathcal{E}_0 e^{ikz} = \frac{A}{ikz} e^{ikz} \int_{-\infty}^{\infty} dx' \int_{-\infty}^{\infty} dy' \exp \left\{ ik \left[(x - x')^2 + (y - y')^2 \right] / 2z \right\}$$

$$\int_{-\infty}^{\infty} dx' e^{ik(x-x')^2/2z} = \int_{-\infty}^{\infty} dx' e^{-\pi(x-x')^2/i\lambda z} = \sqrt{i\lambda z}$$

$$\mathcal{E}_0 e^{ikz} = \frac{A}{ikz} e^{ikz} (i\lambda z) \quad \frac{A}{ikz} = \frac{\mathcal{E}_0}{i\lambda z}$$

Diversão Integrais Gaussianas

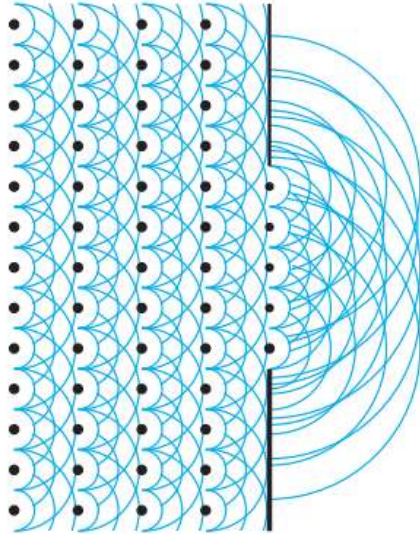
Considere um integral de forma

$$I = \int_{-\infty}^{\infty} du e^{-a(u-u_0)^2} \quad x = \sqrt{a}(u-u_0) \quad du = dx / \sqrt{a}$$
$$I = \frac{1}{\sqrt{a}} \int_{-\infty}^{\infty} dx e^{-x^2}$$

$$I^2 = \frac{1}{\sqrt{a}} \int_{-\infty}^{\infty} dx e^{-x^2} \frac{1}{\sqrt{a}} \int_{-\infty}^{\infty} dy e^{-y^2}$$
$$= \frac{1}{a} \int_0^{2\pi} d\theta \int_0^{\infty} r dr e^{-r^2} = \frac{\pi}{a} \int_0^{\infty} 2r dr e^{-r^2} = \frac{\pi}{a} \left(-e^{-r^2} \right) \Big|_0^{\infty} = \frac{\pi}{a}$$

$$I = \int_{-\infty}^{\infty} du e^{-a(u-u_0)^2} = \sqrt{\frac{\pi}{a}}$$

Integral da propagação Fresnel-Huygens



Cada ponto na abertura $[f(x', y')]$ é tratado como uma fonte de onda esférica
Dentro da aproximação Fresnel o integral representa a sobreposição destas fontes.

$$\mathcal{E}(x, y, z) = \frac{\mathcal{E}_0}{i\lambda z} e^{ikz} \int_{-\infty}^{\infty} \int_{-\infty}^{\infty} f(x', y') e^{ik[(x-x')^2 + (y-y')^2]/2z} dx' dy'$$

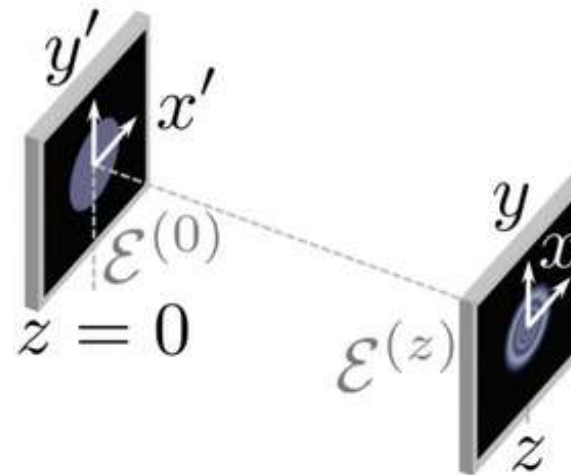
Efetivamente uma soma infinita de fasores

$$r_p^2 = (x - x')^2 + (y - y')^2 + z^2$$

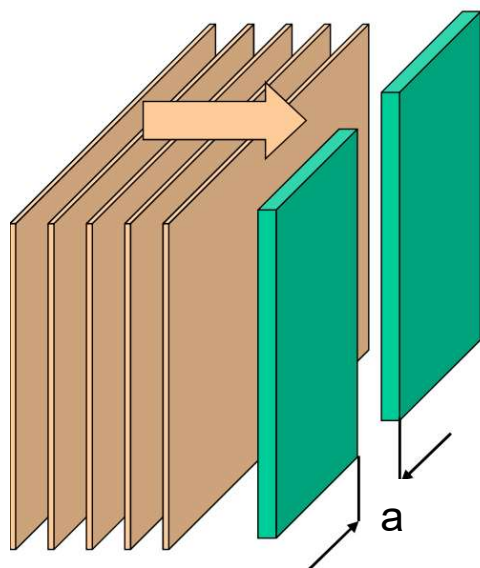
$$r_p \approx z + \frac{(x - x')^2 + (y - y')^2}{2z}$$

Aproximação Fresnel
(paraxial)

$$z \gg x, y, x', y'$$



Caso de uma fenda simples

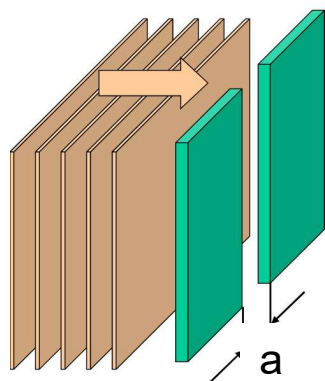


$$\mathcal{E}(x, y, z) = \frac{\mathcal{E}_0}{i\lambda z} e^{ikz} \int_{-\infty}^{\infty} \int f(x', y') e^{\left\{ ik \left[(x-x')^2 + (y-y')^2 \right] / 2z \right\}} dx' dy'$$

Talvez o problema mais simples de difração.

Mesmo assim o integral é complicado – é necessário efetuar ainda mais uma aproximação para chegar á um resultado analítico.

Integral sobre y'



$$\mathcal{E}(x, y, z) = \frac{\mathcal{E}_0}{i\lambda z} e^{ikz} \int_{-a/2}^{a/2} e^{\{ik(x-x')^2/2z\}} dx' \int_{-\infty}^{\infty} e^{\{ik(y-y')^2/2z\}} dy'$$

$$\int_{-\infty}^{\infty} e^{ik(y-y')^2/2z} dy' = \int_{-\infty}^{\infty} e^{-\pi(y-y')^2/i\lambda z} dy' = \sqrt{i\lambda z}$$

Integral Gaussiano $\int_{-\infty}^{\infty} du e^{-\beta(u-u_0)^2} = \sqrt{\frac{\pi}{\beta}} \quad \text{Re}(\beta) \geq 0$

$$\mathcal{E}(x, y, z) = \frac{\mathcal{E}_0}{\sqrt{i\lambda z}} e^{ikz} \int_{-a/2}^{a/2} e^{\{ik(x-x')^2/2z\}} dx'$$

Soma infinita de ondas cilíndricas

O amplitude das ondas cilíndricas $\sim \frac{1}{\sqrt{z}}$

O amplitude das ondas esféricas $\sim \frac{1}{z}$

Integral sobre x'

$$\mathcal{E}(x, y, z) = \frac{\mathcal{E}_0}{\sqrt{i\lambda z}} e^{ikz} \int_{-a/2}^{a/2} \exp\left[ik(x-x')^2 / 2z\right] dx'$$

Mudanças cosméticas definir $u = \frac{2x}{a}; u' = \frac{2x'}{a}$

$$\begin{aligned} k(x-x')^2 / 2z &\rightarrow \pi \frac{(a/2)^2}{z\lambda} (u-u')^2 \\ dx' &\rightarrow 2du' / a \end{aligned}$$

$$N_F \equiv \frac{(a/2)^2}{z\lambda} \quad \text{Número Fresnel}$$

O número Fresnel determine a variação máxima da fase

$$\mathcal{E}(x, z) = \frac{\mathcal{E}_0}{\sqrt{i}} \sqrt{N_F} e^{ikz} \int_{-1}^1 \exp\left[i\pi N_F (u-u')^2\right] du'$$

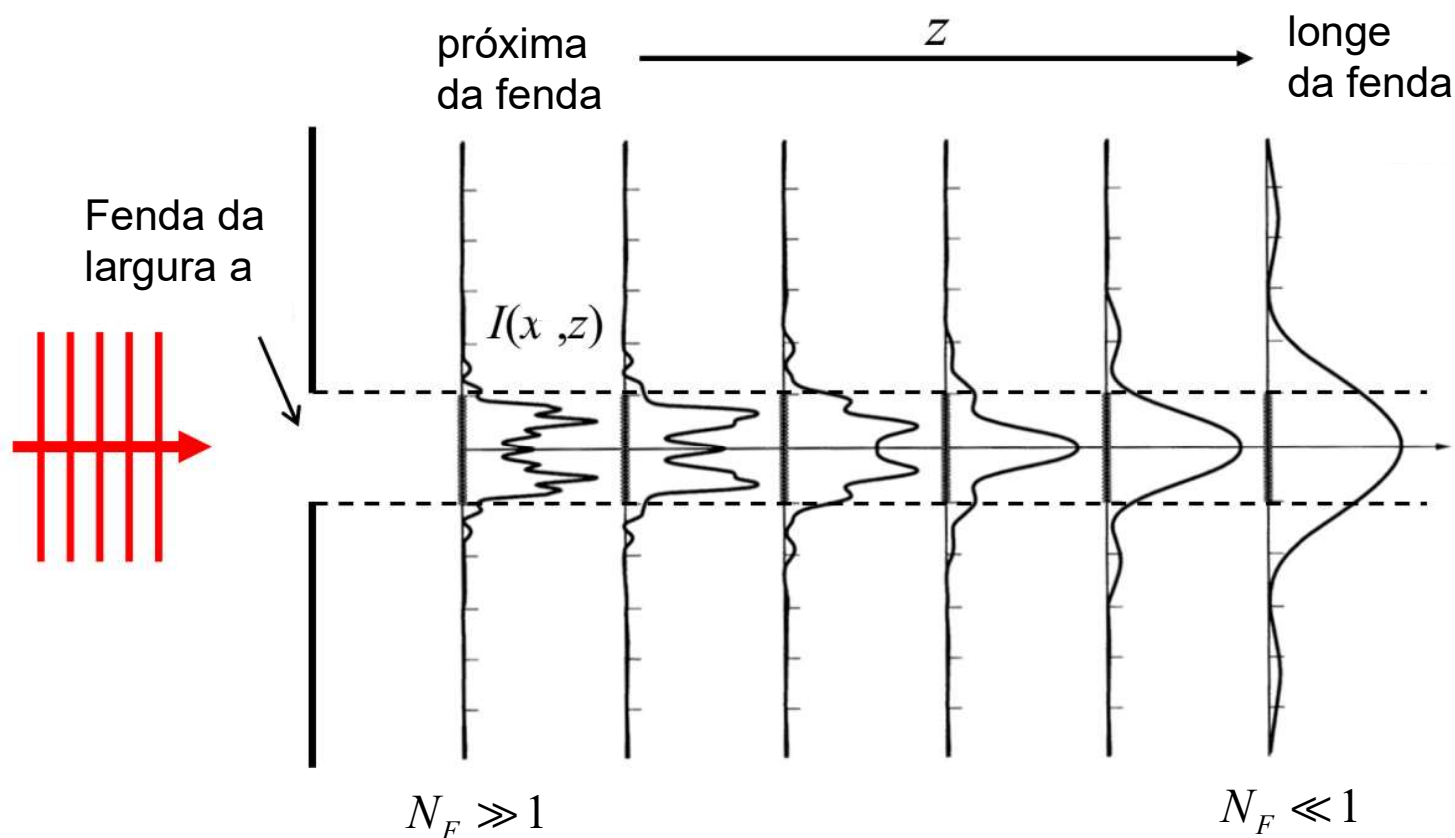
Em geral, a resolução deste integral não pode ser expressa em termos de funções analíticas, mas pode ser calculado numericamente

$$\mathcal{I}(x, z) = N_F \mathcal{I}_0 \left| \int_{-1}^1 \exp\left[i\pi N_F (u-u')^2\right] du' \right|^2$$

$$\mathcal{I} = \frac{1}{2} \varepsilon_0 c n |\mathcal{E}|^2 \quad \text{Poynting}$$

Difração de uma fenda simples

$$\mathcal{I}(x, z) = N_F \mathcal{I}_0 \left| \int_{-1}^1 \exp \left[i\pi N_F (u - u')^2 \right] du' \right|^2 \quad u = \frac{2x}{a} \quad N_F \equiv \frac{(a/2)^2}{z\lambda}$$



Importância do número de Fresnel

$$N_F \equiv \frac{(a/2)^2}{z\lambda}$$

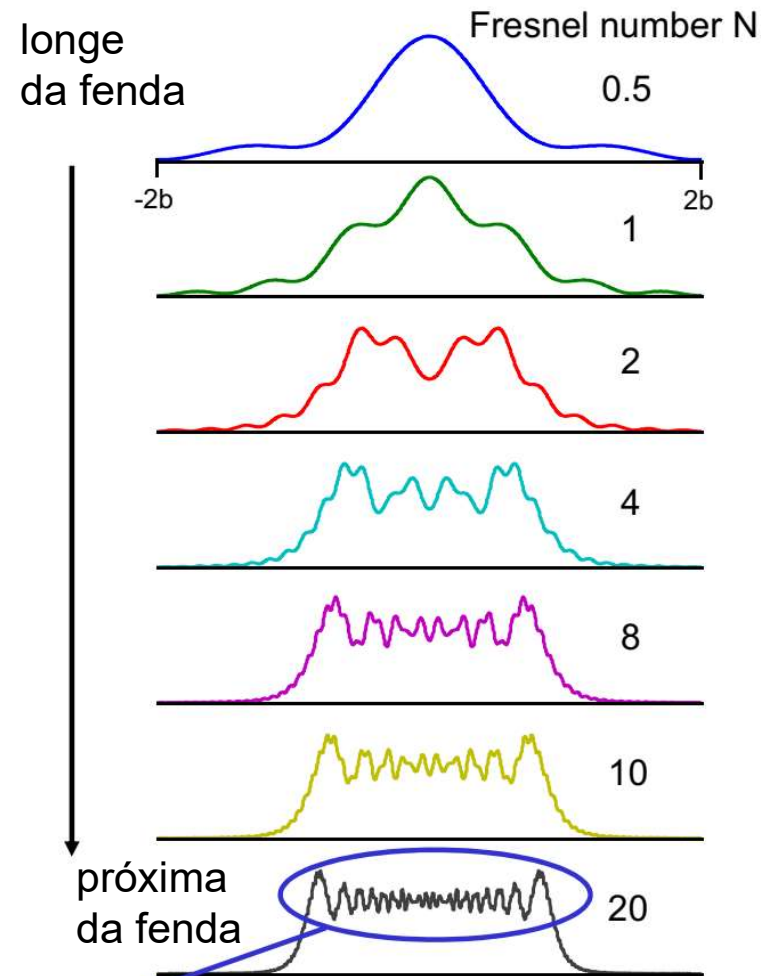
exemplo $\lambda = 500 \text{ nm}$ luz verde

$$a/2 = 10 \text{ } \mu\text{m} = 20\lambda$$

$$N = 1 \quad @ \quad z = 400\lambda = 0,2 \text{ mm}$$

$$a/2 = 1 \text{ mm} = 2000\lambda$$

$$N = 1 \quad @ \quad z = 4 \times 10^6 \lambda = 2 \text{ m}$$



Nº de oscilações = N_F

No limite $N_F \ll 1$ (campo distante)

$$\mathcal{E}(x, z) = \frac{\mathcal{E}_0}{\sqrt{i\lambda z}} e^{ikz} \int_{-a/2}^{a/2} \exp\left[i \frac{\pi}{\lambda z} (x - x')^2\right] dx'$$

$$N_F = \frac{(a/2)^2}{\lambda z} \ll 1$$

Aproximação Fraunhofer (depende de λ)

$$e^{i\pi x^2/2z} \int_{-a/2}^{a/2} \exp\left[i \frac{\pi}{\lambda z} (-2xx' + x'^2)\right] du'$$

$$\left(\frac{x'^2}{\lambda z}\right) \leq \left(\frac{(a/2)^2}{\lambda z}\right) = N_F$$

$$e^{i\pi x^2/\lambda z} \int_{-a/2}^{a/2} \exp\left[-i2\pi \frac{xx'}{\lambda z}\right] dx' = e^{i\pi x^2/\lambda z} \left[\frac{e^{-i\pi ax/\lambda z} - e^{i\pi ax/\lambda z}}{-i2\pi x/\lambda z} \right]$$

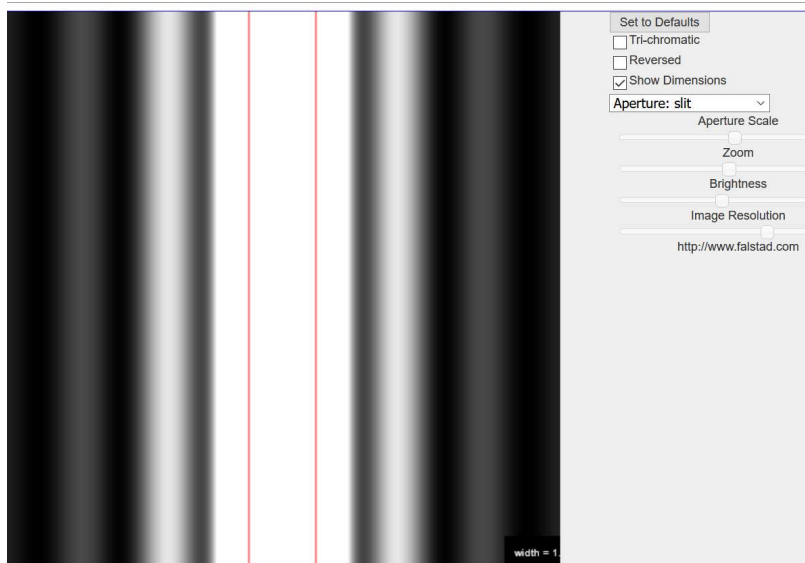
$$= e^{i\pi x^2/\lambda z} a \frac{\sin(\pi ax/\lambda z)}{\pi ax/\lambda z}$$

$$\mathcal{E}(x, z) = \frac{\mathcal{E}_0}{\sqrt{i\lambda z}} e^{ikz} e^{i\pi x^2/\lambda z} a \left[\frac{\sin(\pi ax/\lambda z)}{\pi ax/\lambda z} \right]$$

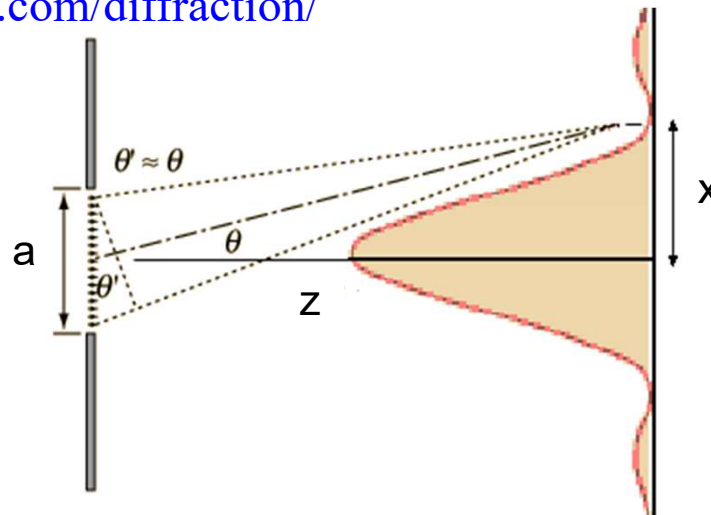
$$\mathcal{I}(x, z) = \mathcal{I}_0 \left(\frac{a^2}{\lambda z} \right) \left[\frac{\sin(\pi ax/\lambda z)}{\pi ax/\lambda z} \right]^2$$

$$= 4\mathcal{I}_0 N_F \left[\frac{\sin(\pi N_F x/a)}{(\pi N_F x/a)} \right]^2$$

Difração Fenda simples (aproximação Fraunhofer)



<https://www.falstad.com/diffraction/>



$$\mathcal{I}(x, z) = \mathcal{I}_0 \left(\frac{a^2}{\lambda z} \right) \left[\frac{\sin(\pi a x / \lambda z)}{\pi a x / \lambda z} \right]^2$$

$$\text{sinc}(\xi) = \left[\frac{\sin(\xi)}{\xi} \right]^2 \quad \lim_{\xi \rightarrow 0} \text{sinc}(\xi) = 1$$

mínimos

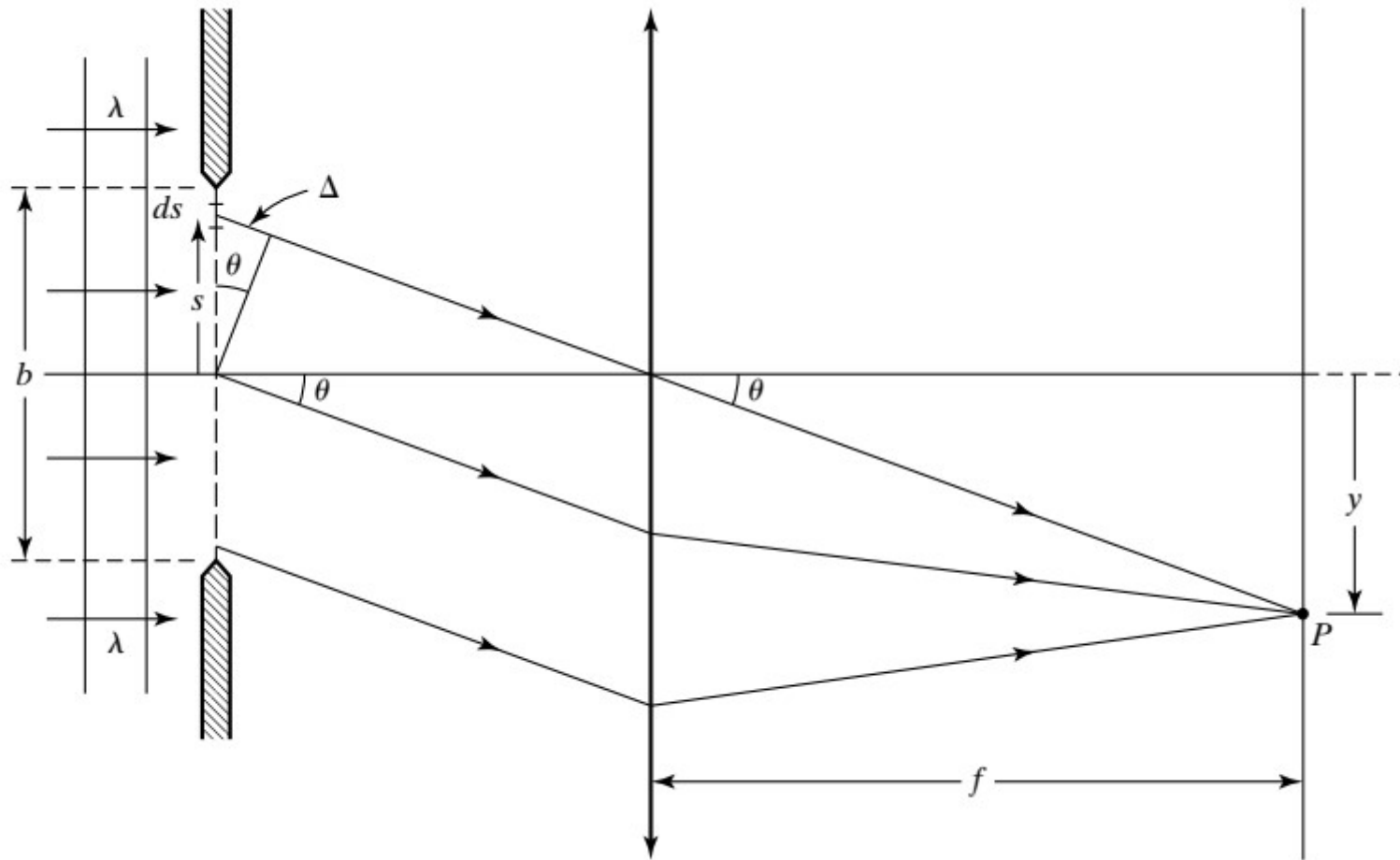
$$\mathcal{I}(x, z) = 0 \quad @ \quad \frac{\pi a x_{\min}}{\lambda z} = m\pi$$

exceto $m=0$

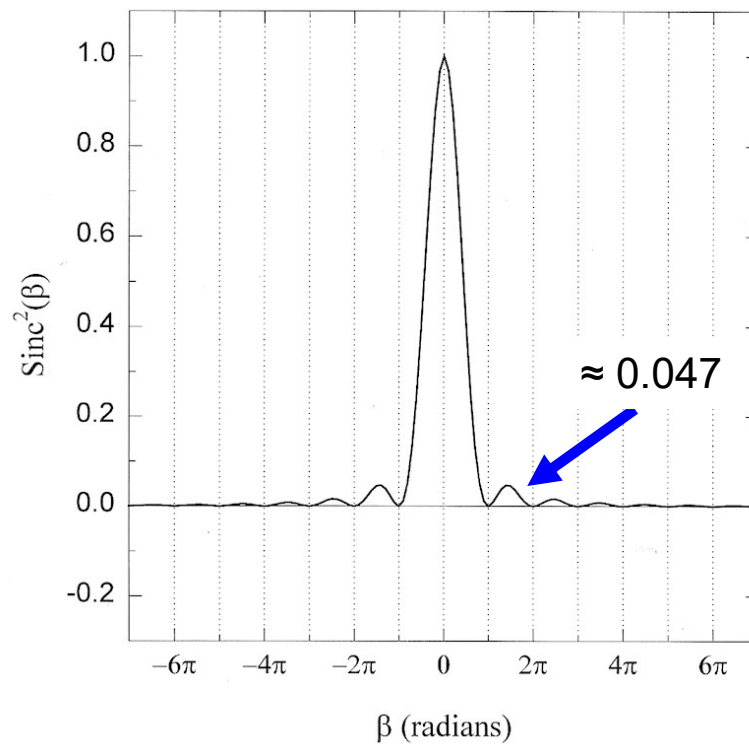
$$a \frac{x_{\min}}{z} \approx a \sin \theta_{\min} = m\lambda$$

$$\sin \theta_{\min} = \frac{m\lambda}{a}$$

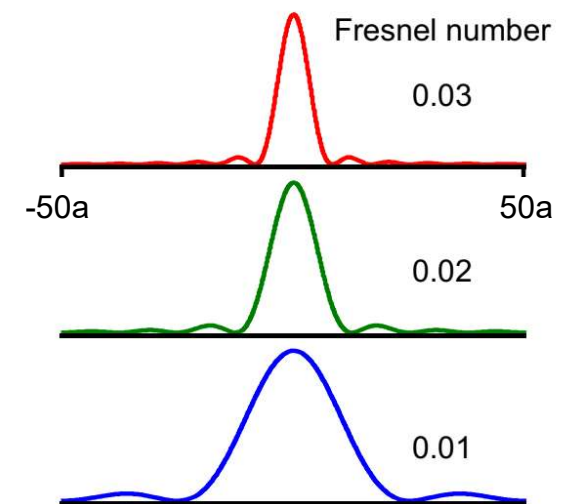
Uso duma lente para aproximar o infinito...



A função sinc



$$\text{sinc}(\beta) = \left[\frac{\sin(\beta)}{\beta} \right]^2$$

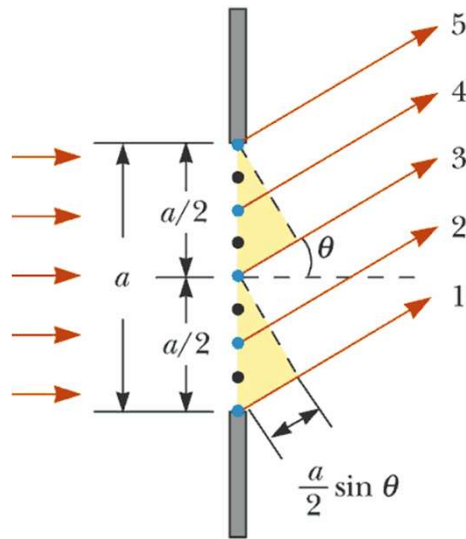


$$\mathcal{I}(x, z) = \mathcal{I}_0 \left(\frac{a^2}{\lambda z} \right) \left[\frac{\sin(\pi a x / \lambda z)}{\pi a x / \lambda z} \right]^2 = \mathcal{I}_0 4 N_F \text{sinc}^2 \left(\frac{4 \pi N_F x}{a} \right)$$

Interpretação em termos de fasores

$$\mathcal{I}(x, z) = \mathcal{I}_0 \left(\frac{a^2}{\lambda z} \right) \left[\frac{\sin(\pi a x / \lambda z)}{\pi a x / \lambda z} \right]^2$$

$$\frac{\pi a x}{\lambda z} \approx k \frac{a}{2} \sin \theta$$



© 2005 Brooks/Cole - Thomson

